引6 電子ビーム溶接におけるビーム特性と溶込み形状

金属校料技術研究所

O入江宏定 塚本 進 福·垣道夫

電子ビーム溶接機 におけるビーム径の測定は非常に困難である。そこで溶込み形状とビーム径の関係を調べ、形状からビーム径を堆定しうるか否かを調べた。さらにビームの焦炎位置との密接は関係が指摘されている溶込み内部のふくらみ発生現像をビームのエネルギー 窓茂との 奥連で調べた。

1、ビーム径の測定及びビード中

ビーム電流密度分布測定はすで、報告したが、今回は、乗埋は同じであるが、 Fig、1に示す比較的高便な方法で測定を行った。すなわち水冷銅盤にの・1 mmの 止しれのあいたタングステン製線引きがイスを埋込み、ビームが孔上を画過するように偏向コイルにより高速で走査する。このとき孔を貫通したビームを下に配置したフィラデーカップで測定する。測定ごとの走査は記録的と遮動させ、1 ~3サイクルである。本法(ピンホール法と呼ぶ)により測定したビーム径、電流密度分布 減形及びABテストで求めたビーム径の対物距離依存性をFig. Zに示す。同図から 明らかなように密度分布波的はレンズに近い実では台形で、塵ざかるに従がって正

規分布形とおる。ABテストとピンホール法で測走したビーム径は台形波形のとまは至いに一致するが、正規分布液形のとまはABテスト値の方が大まくらく、 ニ次溶融現象が発生していると考えられる。

スにビーム経と溶込み中の関係を調べた。種々の溶接条件においてSM5の餌を溶接し、展面及びネック部でのビード中を求め、ビーム経との関係を調べた。

利定例を Fig. 3 に示す。図はピンホール法による後dbo Fig. 1 An apparatus for measuring との関係である。ビーム径はすでに述べたように、時 EB current density

前変動を行っているが、ネック部巾de2と比較的よく

一条字 = ずにかうに法へいるような を 値 か を と 明 い で そ が か か ら じ 求 め ら じ 求 め ら じ 求 め ら じ 求 め ら じ 求 め ら じ 求 め ら じ 求 め ら じ 求 め ら じ 求 め ら じ 求 め ら じ 求 め ら じ す る か か ン め ら じ す る い ホ 下 と 較 る ・ で い か ら い す る ・ で ら い は す る ・ で い か ら い は す る ・ で い か ら い は す る ・ で い か ら い は す る ・ で い か ら い は す る ・ で い か ら い は す る ・ で い か ら い は す る ・ で い か ら い は す る ・ で い か ら い は す る ・ で い か ら い は す る ・ で い か ら い は す る ・ で い か ら い は す る ・ で い か ら い は す る ・ で い か ら い は す る ・ で い か ら い は す る ・ で い か ら い は す る ・ で い か ら い

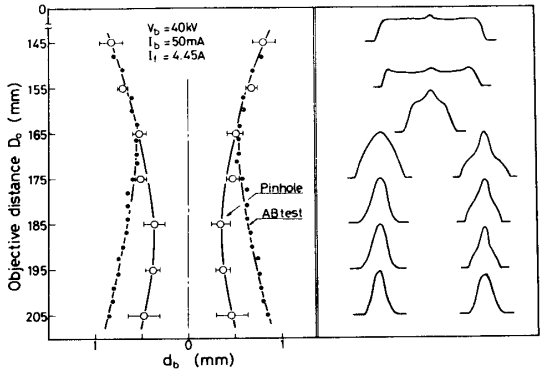


Fig. 2 EB diameter and current density distribution along objective distance

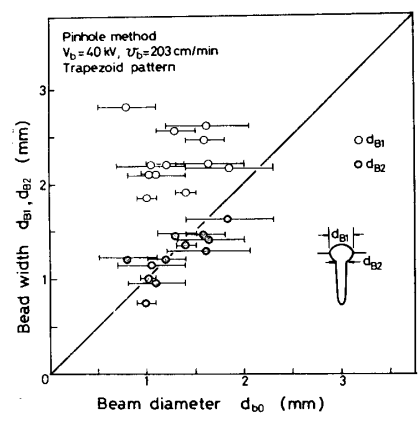


Fig. 3 Comparison between EB diameter and tow bead widths

ABテストで求めた径dbABは台形汲形時にdBZとよく一致している。すらにdBIともは近分の放形時の方が大きくいる。ならな水水変験はTable 1 か溶接速度におけるものであるが、すらに低速ではる。然ビード中が増入し、ずれは大きくはる。この結果、適当は溶接速度を選択し、ネッフ部でのビード中を測走すれば、ある程度による。

Table 1 Difference between EB diameters and bead widths

ʊ _b (cm/min)	Pattern	(mm) 5∆			
		d _{B1} - d _{b0}	d _{B1} - d _{bAB}	d _{B2} - d _{b0}	d _{B2} -d _{bAB}
203	Trapezoid	+ 1.22	+ 1.04	- 0.14	- 0.32
	Gaussian	+ 2.21	• 1.11	- 0.13	- 1.15
102	Trapezoid	+ 2.35	+ 2.19	+ 0.11	- 0.10
	Gaussian	+ 3.53	+ 2.41	+ 0.27	- 0. 85

+: α_B >α_b V_c =40kV I_c =50 ~ 200mΔ

2. 溶込み内部のふくらみべつりて

次にビームの無臭位置とその発生が密接に関連し ていると指摘まれている添めか中央部のふくらかに ついて調べた。これはFig. & (b) に示すように、中 失部の切が他よくたまくなるもので、ゼーム無臭が 試料表面より上方にあるとま発生しやすい。このと まの電流客度分布は正規分布形である。 したがって 密度分而液形と密接は関係、換言すれば表面近傍で a溶融金属の状態が密接に関係しているものと考え、 Fig. 4に落心が深まると表面及びネック部でのビー ド中比dil/dezで発生領域を整理した。図から明らか おようにdBl/dBZ が小ていとチは楔形,dBl/dBZ が大き くねがふまいときは平行,如が大きくはるとふくら 升砂状が発生した。これをビード巾と電流客度液形 の関係で Fig. 5 に示す。同図(Q)に示すように無実が 下方にあり、密度分布液形が台形のときは対応のよ うにdai/dazは小すく、表面近傍の溶融金属は盛上1 その表面張力が大きく内部の溶融金属を吸上げやす い。他方同図(b)の上方無矣のとまけdenが大きく、

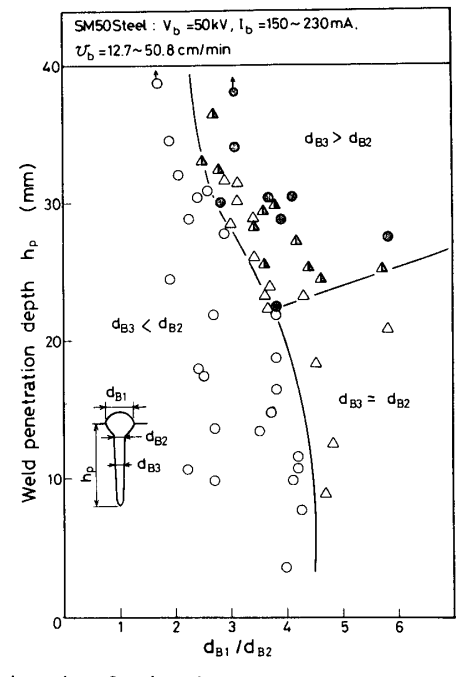


Fig. 4 Relation between shapes at the middle part and at another parts

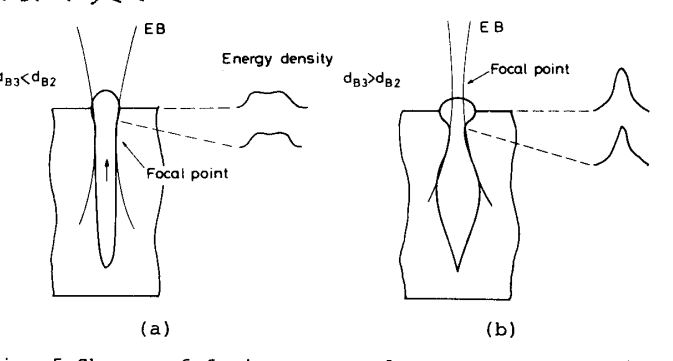


Fig. 5 Shapes of fusion zone under two energy density distributions

参考文献

1) 入江他:洛学能, 46 (1977) 642

2) 志田他:落学誌, 46 (1977)888